



## Raport

z badań poziomu natężenia pola elektrycznego  
w otoczeniu stacji bazowej:

### WRO3026

na podstawie sprawozdania P4/4/2022 udostępnionego przez A-CONNECT Anna Garwol-Porosa

---

#### Laboratorium prowadzące badania

A-CONNECT Anna Garwol-Porosa  
Strażacka 3/2  
58-370 Boguszów-Gorce  
692 692 875

#### Zleceniodawca badań

P4 Sp. z o.o.  
  
02-677 Warszawa  
790 500 500  
kontakt@play.pl

Nr akredytacji: AB 1284

Data wydania sprawozdania: 19.01.2022

Raport zawiera wybrane elementy sprawozdania i służy wyłącznie obrazowemu przedstawieniu informacji o danej instalacji. Raport nie może być wykorzystywany w postępowaniach administracyjnych.

## Informacje ogólne

Zgodność z metodyką RMK: Tak

Ograniczenia: Na podstawie art. 122a ust. 1b ustawy Prawo ochrony środowiska (t.j. Dz.U. z 2020 r., poz. 1219, 1378, 1565, 2127, 2338, z 2021 r. poz. 802, 868, 1047, 1162, 1535.), pomiary PEM w lokalach mieszkalnych i użytkowych zlokalizowanych w obszarze pomiarowym badanej stacji bazowej nie zostały przeprowadzone.

Wykorzystanie w obszarze regulowanym: Tak

## Przedmiot badań

Identyfikator stacji w UKE	WRO3026
Operator	P4 Sp. z o.o.
Współrzędne	16,7727020; 51,0883520
Rodzaj pracy	ciągła
Rodzaj wytwarzanego pola	stacjonarne

## Miejsce badań

Otoczenie stacji bazowej WRO3026 w lokalizacji Bogdaszowice, dz. nr 309.

## Cel badań

1. Zweryfikowanie zgodności z wymaganiami rozporządzenia Ministra Zdrowia z dnia 19 grudnia 2019 r.

# Opis stacji bazowych

Tabela 1: Opis anten badanych stacji bazowych

Lp.	Identyfikator stacji w UKE	Typ Producent anteny	Azymut	H	EIRP	Pasmo	Tilt	Tilt w trakcie pomiarów
			[°]	[m]	[W]	[MHz]	[°]	[°]
1	WRO3026	ADU4518R8v06 Huawei	110	58,50	14181*	LTE 800 LTE 1800 LTE 2100	0,0 - 10,0 2,0 - 12,0 2,0 - 12,0	5,0 5,0 5,0
2		ADU4518R8v06 Huawei	110	58,50	14181*	LTE 800 LTE 1800 LTE 2100	0,0 - 10,0 2,0 - 12,0 2,0 - 12,0	5,0 5,0 5,0
3		ATR4518R11v06 Huawei	110	58,50	13696*	UMTS 900 LTE 2600 LTE 2600	0,0 - 10,0 0,0 - 10,0 0,0 - 10,0	5,0 5,0 5,0
4		ADU4518R8v06 Huawei	230	58,50	14181*	LTE 800 LTE 1800 LTE 2100	0,0 - 10,0 2,0 - 12,0 2,0 - 12,0	5,0 5,0 5,0
5		ADU4518R8v06 Huawei	230	58,50	14181*	LTE 800 LTE 1800 LTE 2100	0,0 - 10,0 2,0 - 12,0 2,0 - 12,0	5,0 5,0 5,0
6		ATR4518R11v06 Huawei	230	58,50	13696*	UMTS 900 LTE 2600 LTE 2600	0,0 - 10,0 0,0 - 10,0 0,0 - 10,0	5,0 5,0 5,0
7		ADU4518R8v06 Huawei	350	58,50	14181*	LTE 800 LTE 1800 LTE 2100	0,0 - 10,0 2,0 - 11,8 2,0 - 11,8	5,0 5,0 5,0
8		ADU4518R8v06 Huawei	350	58,50	14181*	LTE 800 LTE 1800 LTE 2100	0,0 - 10,0 2,0 - 11,8 2,0 - 11,8	5,0 5,0 5,0
9		ATR4518R11v06 Huawei	350	58,50	13696*	UMTS 900 LTE 2600 LTE 2600	0,0 - 10,0 0,0 - 10,0 0,0 - 10,0	5,0 5,0 5,0

\* moc EIRP łączna dla wszystkich częstotliwości anteny

## Warunki pomiarów

Pomiary w wyznaczonych punktach wykonano w następujących warunkach:

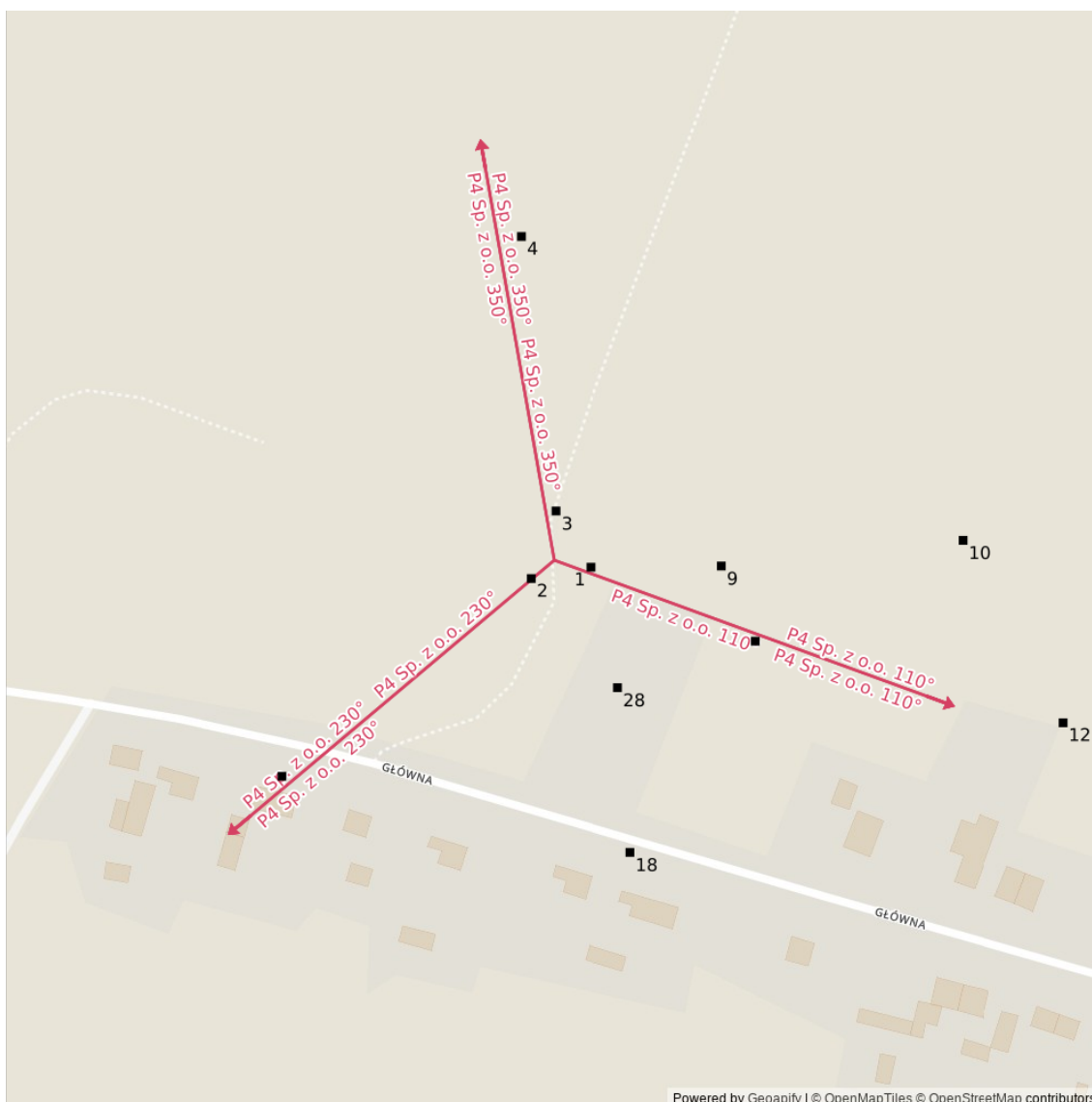
18.01.2022 08:45-10:15			
Warunki środowiskowe	Temperatura [°C]	Wilgotność [%]	Opady
Minimalna	0,1	83,0	brak
Maksymalna	0,7	86,4	

## Aparatura

Tabela 2: Aparatura

MIERNIKI I SONDY					
Lp.	Typ / Nazwa	Model	Producent	Próg detekcji	Świadectwo wzorcowania
1a	miernik	NBM-520	Narda		LWiMP/W/012/20 z dn. 24.01.2020 wydane przez LWiMP Politechniki Wrocławskiej
1b	sonda	EF6091	Narda	0,80	
POZOSTAŁE					
Lp.	Typ / Nazwa	Model	Producent	Świadectwo wzorcowania	
2	termohigrometr	H560	DOSTMANN	73708/2021 z dn. 16.04.2021 wydane przez LAB-EL ELEKTRONIKA LABORATORYJNA ANDRZEJ ŁOBZOWSKI, MARIA ŁOBZOWSKA SP. J.	

## Lokalizacje pionów pomiarowych



Rysunek 1: Plan terenu

## Wyniki pomiarów szerokopasmowych

Tabela 3: Zestawienie lokalizacji pionów pomiarowych oraz wyników pomiarów natężenia pola elektrycznego, pomiary szerokopasmowe

Nazwa	Data	Współrzędne geograficzne	E	WM <sub>E</sub>	H	WM <sub>H</sub>
		[°]	[ $\frac{V}{m}$ ]		[ $\frac{A}{m}$ ]	
1	18.01.2022	16,7728930 51,0883290	< 1,84	< 0,066	< 0,005	< 0,067
2	18.01.2022	16,7725820 51,0882920	< 1,84	< 0,066	< 0,005	< 0,067
3	18.01.2022	16,7727110 51,0885130	< 1,84	< 0,066	< 0,005	< 0,067

Ciąg dalszy na następnej stronie

Tabela 3: Zestawienie lokalizacji pionów pomiarowych oraz wyników pomiarów natężenia pola elektrycznego, pomiary szerokopasmowe (c.d.)

Nazwa	Data	Współrzędne geograficzne	E	WM <sub>E</sub>	H	WM <sub>H</sub>
		[°]	[ $\frac{V}{m}$ ]		[ $\frac{A}{m}$ ]	
4	18.01.2022	16,7725310 51,0894110	< 1,84	< 0,066	< 0,005	< 0,067
5	18.01.2022	16,7722630 51,0903610	< 1,84	< 0,066	< 0,005	< 0,067
6	18.01.2022	16,7720810 51,0914120	2,76	0,099	0,007	0,100
7	18.01.2022	16,7715330 51,0924090	3,45	0,123	0,009	0,125
8	18.01.2022	16,7712330 51,0934940	4,37	0,156	0,012	0,159
9	18.01.2022	16,7735720 51,0883330	< 1,84	< 0,066	< 0,005	< 0,067
10	18.01.2022	16,7748320 51,0884170	< 1,84	< 0,066	< 0,005	< 0,067
11	18.01.2022	16,7737490 51,0880870	< 1,84	< 0,066	< 0,005	< 0,067
12	18.01.2022	16,7753530 51,0878200	1,84	0,066	0,005	0,067
13	18.01.2022	16,7769140 51,0874770	3,22	0,115	0,009	0,117
14	18.01.2022	16,7783600 51,0870350	4,83	0,173	0,013	0,176
15	18.01.2022	16,7805920 51,0865200	5,06	0,181	0,013	0,184
16	18.01.2022	16,7788140 51,0864090	3,91	0,140	0,010	0,142
17	18.01.2022	16,7763790 51,0868060	< 1,84	< 0,066	< 0,005	< 0,067
18	18.01.2022	16,7730960 51,0873960	< 1,84	< 0,066	< 0,005	< 0,067
19	18.01.2022	16,7712830 51,0876450	< 1,84	< 0,066	< 0,005	< 0,067
20	18.01.2022	16,7695980 51,0867620	2,76	0,099	0,007	0,100
21	18.01.2022	16,7684180 51,0861290	4,37	0,156	0,012	0,159
22	18.01.2022	16,7673990 51,0852630	5,29	0,189	0,014	0,192
23	18.01.2022	16,7687510 51,0845520	4,37	0,156	0,012	0,159
24	18.01.2022	16,7663470 51,0849360	4,83	0,173	0,013	0,176

ciąg dalszy na następnej stronie

Tabela 3: Zestawienie lokalizacji pionów pomiarowych oraz wyników pomiarów natężenia pola elektrycznego, pomiary szerokopasmowe (c.d.)

Nazwa	Data	Współrzędne geograficzne	E	WM <sub>E</sub>	H	WM <sub>H</sub>
		[°]	[ $\frac{V}{m}$ ]		[ $\frac{A}{m}$ ]	
25	18.01.2022	16,7675810 51,0867150	3,68	0,131	0,010	0,134
26	18.01.2022	16,7696200 51,0862230	3,22	0,115	0,009	0,117
27	18.01.2022	16,7694050 51,0879690	< 1,84	< 0,066	< 0,005	< 0,067
28	18.01.2022	16,7730310 51,0879350	< 1,84	< 0,066	< 0,005	< 0,067

## Podsumowanie

Na podstawie wyników pomiarów pola elektromagnetycznego przedstawionych w niniejszym raporcie o nr P4/4/2022 opracowanym przez A-CONNECT Anna Garwol-Porosa stwierdza się, że w otoczeniu stacji bazowej WRO3026 dopuszczalne poziomy pól elektromagnetycznych w środowisku, określone w przepisach wydanych na podstawie art. 122 ust. 1 ustawy z dnia 27 kwietnia 2001 r. – Prawo ochrony środowiska uznaje się za **dotrzymane**. Udokumentowano, że w żadnym pionie pomiarowym wartości wskaźnikowe WM<sub>E</sub> oraz WM<sub>H</sub> nie przekroczyły 1.

## Osoby odpowiedzialne

Wykonanie pomiarów: b.d.

Opracowanie sprawozdania: b.d.

Autoryzacja sprawozdania: Łukasz Porosa (Kierownik ds. jakości)